

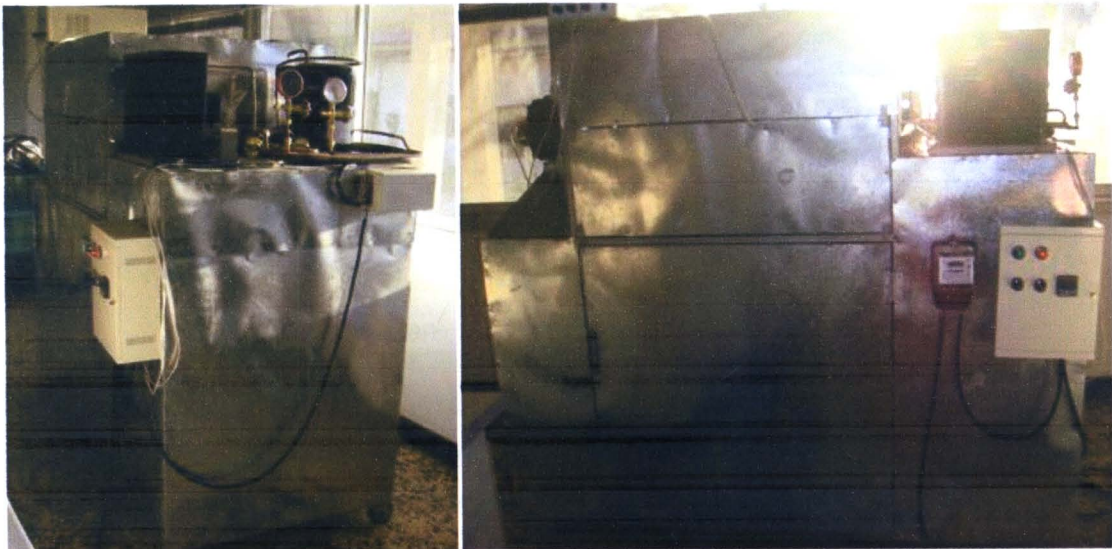
บทที่ 4

ผลการดำเนินการ



4.1 เครื่องอบแห้งระบบปั๊มความร้อน

เครื่องอบแห้งระบบปั๊มความร้อนที่ดำเนินการพัฒนาขึ้นมีลักษณะดังภาพที่ 4.1 โดยตัวเครื่องมีขนาด กว้าง x สูง x ลึก x คือ $1.7 \text{ m} \times 0.8 \text{ m} \times 1.5 \text{ m}$ โดยมีส่วนประกอบหลักดังนี้



ภาพที่ 4.1 เครื่องอบแห้งระบบปั๊มความร้อนและส่วนประกอบ

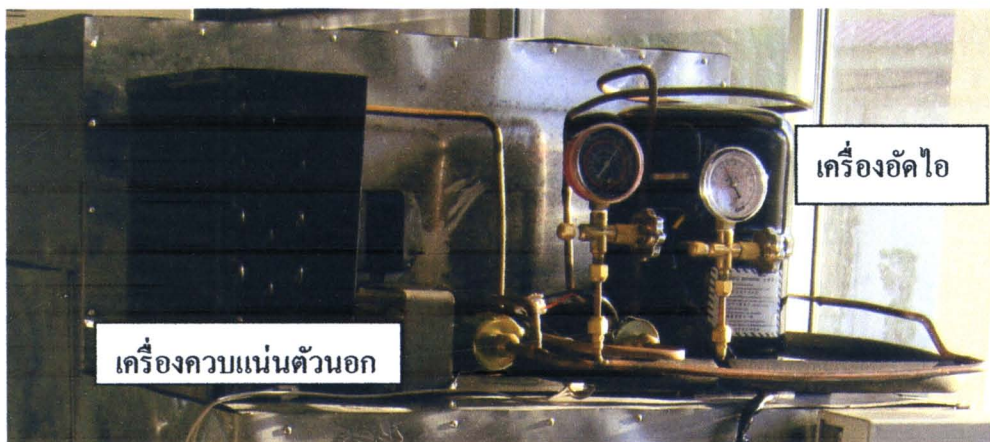
ห้องอบแห้ง

ห้องอบแห้งมีปริมาตรภายในเท่ากับ $ก \times ล \times ส = 70 \times 70 \times 85 \text{ cm}^3$ บุด้วยจำนวนไข่เก้ากันความร้อนหนา 3 มิลลิเมตรในประจุนค์วิ่งต่อสี่วัสดุขนาด $50 \times 60 \text{ cm}^2$ จำนวน 10 ถาด ตัวถาดทำจากเหล็กกล้าไร้สนิมเจาะรู ชุดโครงสร้างรับถาดเหล็กกล้าไร้สนิมมีความแข็งแรงทนทาน

ชุดปั๊มความร้อน

ชุดปั๊มความร้อนประกอบด้วยอุปกรณ์หลักคือ เครื่องอัดไออกไซด์แบบลูกสูบขนาด $1\frac{1}{4} \text{ hp}$ ใช้สารทำความเย็น R-22 เครื่องทำระเหย (evaporator) แบบ 3 แฉวขนาด 3.75 kW ทำจากท่อทองแดงขนาด 9.5 mm. ประกอบด้วยเครื่องอะลูมิเนียมแบบลอนคลินจำนวน 13 ครีบต่อน้ำ พร้อมวาล์วลดความดันชนิดท่อรูเข้ม เครื่องควบคุมแบบตัวใน แบบ 2 แฉว ขนาด 4.5 kW ทำจากท่อทองแดง

ขนาด 9.5 mm. ประกอบด้วยครีบอะลูมิเนียมแบบลอนคลินจำนวน 13 ครีบต่อน้ำ และเครื่องควบแน่นตัวนอก ขนาด 2.5 kW พร้อมชุดพัดลมระบายความร้อนขนาด 40 W เนื่องจากในระบบการทำงานจริงจะมีความร้อนเพิ่มขึ้นเมื่อจากความเสียดทานภายใน การใช้เครื่องควบแน่นตัวนอกมากกว่าที่ออกแบบไว้จะช่วยทำให้การควบคุมอุณหภูมิกายในทำได้ดีขึ้น เครื่องควบแน่นตัวในและเครื่องทำระเหยจะทำการติดตั้งอยู่ในท่อส่งอากาศ กายในเครื่องอบแห้ง ส่วนเครื่องอัดไอและเครื่องควบแน่นตัวนอกจะทำการติดตั้งอยู่ภายนอกเพื่อประโยชน์ในการระบายความร้อนส่วนเกินดังแสดงในภาพที่ 4.2



ภาพที่ 4.2 ลักษณะการติดตั้งเครื่องควบแน่นตัวนอกและเครื่องอัดไอ

พัดลม

พัดลมที่ใช้เป็นพัดลมโถ้งหน้า จำนวน 2 ตัว ต่อขนาด ขับด้วยมอเตอร์ไฟฟ้ากระแสตรงขนาด 350 W

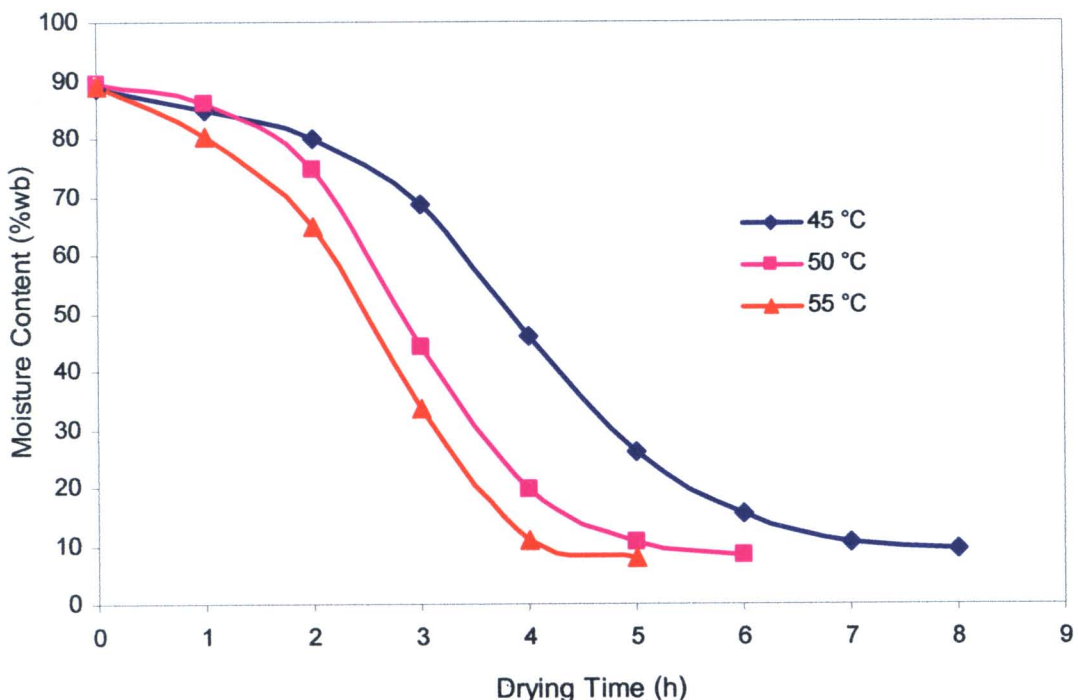
ชุดควบคุม

ทำการควบคุมอุณหภูมิแบบอัตโนมัติ ประกอบด้วยเซ็นเซอร์วัดอุณหภูมิ และชุดควบคุมการให้ลงสารทำความเย็นในวงจรระบบปั๊มความร้อนที่สัมพันธ์กับอุณหภูมิการอบแห้งที่ต้องการ

4.2 ผลการทดสอบประสิทธิภาพเครื่องอบแห้งระบบปั๊มความร้อน

4.2.1 ผลการอบแห้งเครื่อง

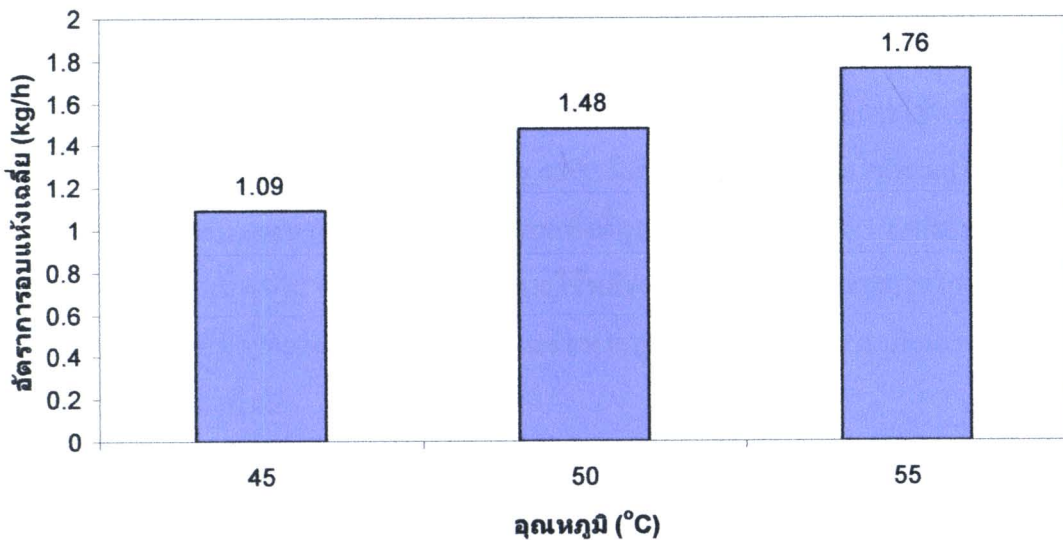
การอบแห้งเครื่องด้วยเครื่องอบแห้งระบบปั๊มความร้อน พบว่ามีพฤติกรรมการอบแห้งดังแสดงในน้ำภาพที่ 4.3 ซึ่งจากภาพจะเห็นว่า การอบแห้งเครื่องด้วยเครื่องอบแห้งระบบปั๊มความร้อนมีพฤติกรรมการอบแห้งส่วนใหญ่อยู่ในช่วงของการอบแห้งลดลง โดยอุณหภูมิของการอบแห้งเป็นปัจจัยสำคัญที่ส่งผลต่อการอบแห้งเครื่อง โดยพบว่าที่อุณหภูมิ 55°C การลดลงของความชื้นของเครื่องจะเกิดขึ้นเร็วที่สุดทั้งนี้เนื่องจากที่อุณหภูมิสูงกว่าจะทำให้ค่าความชื้นสัมพัทธ์ในอากาศมีค่าลดต่ำลงทำให้มีความสามารถในการดูดรับความชื้นได้มากขึ้น ในทางตรงกันข้ามเมื่ออุณหภูมิที่ต่ำกว่าจะทำให้อากาศมีความสามารถในการรับความชื้นจากวัสดุไปน้อยกว่า การอบแห้งจึงเกิดขึ้นได้ช้ากว่า



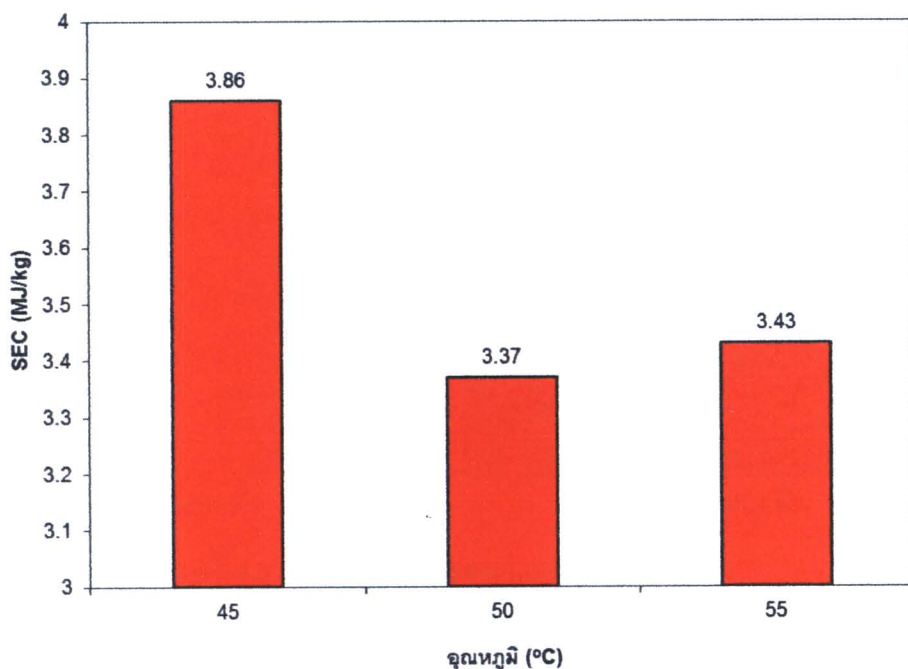
ภาพที่ 4.3 ความสัมพันธ์ระหว่างความชื้นกับเวลาของการอบแห้งเครื่องด้วยเครื่องอบแห้งระบบปั๊มความร้อน

เมื่อทำการคำนวณหาอัตราการอบแห้งของเครื่องในรูปของอัตราการระเหยน้ำต่อชั่วโมงพบว่า อัตราการอบแห้งของเครื่องที่อุณหภูมิ $45\ 50\ \text{และ} 55^{\circ}\text{C}$ โดยเฉลี่ยดังแสดงในภาพที่ 4.4

ซึ่งจะเห็นว่ามีความสัมพันธ์เช่นเดียวกับพฤติกรรมการอบแห้งนั้นคือที่อุณหภูมิสูงกว่า (55°C) มีอัตราการอบแห้งสูงที่สุด และที่อุณหภูมิต่ำกว่าคือ 45°C จะมีอัตราการอบแห้งเฉลี่ยต่ำที่สุด



ภาพที่ 4.4 อัตราการอบแห้งแครอฟต์ด้วยเครื่องอบแห้งระบบบีมความร้อน



ภาพที่ 4.5 ความสัมประสิทธิ์พลังงานจำเพาะของการอบแห้งเครอฟต์

เมื่อพิจารณาด้านพลังงานพบว่าค่าอัตราการสึ้นเปลี่ยนพลังงานจำเพาะของการอบแห้ง��รอทด้วยเครื่องอบแห้งระบบปื้นความร้อนที่อุณหภูมิอากาศอบแห้ง 45 50 และ 55 °C มีค่า 3.86 3.37 และ 3.43 MJ/kg_{water} ซึ่งจะเห็นว่าที่อุณหภูมิอากาศอบแห้ง 50 °C มีค่าต่ำที่สุด (ภาพที่ 4.5) ทั้งนี้เนื่องจาก ค่าเฉลี่ยการใช้พลังงานในการอบแห้งที่แต่ละอุณหภูมิการอบแห้งมีค่าแตกต่างกันโดยที่ อุณหภูมิสูงกว่าจะใช้พลังงานมากกว่า โดยที่อุณหภูมิการอบแห้ง 55 °C มีอัตราการใช้พลังงานไฟฟ้า เฉลี่ยอยู่ที่ 1.68 kWh/h ในขณะที่อุณหภูมิ 50 และ 45 °C มีอัตราการใช้พลังงานไฟฟ้าอยู่ที่ 1.38 และ 1.17 kWh/h ตามลำดับ แต่ช่วงเวลาที่ใช้ในการอบแห้งที่อุณหภูมิ 50 และ 55 °C แตกต่างกันเพียง 1 ชั่วโมง ส่วนที่อุณหภูมิ 45 °C ถึงแม้มีอัตราการใช้พลังงานไฟฟ้าที่ต่ำแต่ระยะเวลาการอบแห้งที่นานมากกว่าจึงทำให้มีค่าความสึ้นเปลี่ยนพลังงานจำเพาะสูงที่สุด สำหรับพารามิเตอร์อื่นของการอบแห้งแสดงในตารางที่ 4.1

เมื่อพิจารณาถึงคุณภาพของผลิตภัณฑ์เครือข่ายอบแห้งที่ได้จากเครื่องอบแห้งระบบปื้นความร้อนพบว่าสีของเครือข่ายอบแห้งที่ได้จะเข้มขึ้นเนื่องจากมีการสูญเสียน้ำออกจากตัววัสดุ แต่ไม่ปรากฏสีดำคล้ำให้เห็น ซึ่งจากภาพที่ 4.6 จะเห็นว่าเครือข่ายและเครือข่ายอบแห้งที่ได้ยังคงมีสีสันที่สวยงามน่ารับประทานโดยที่ทุกๆ อุณหภูมิการอบแห้งจะให้ผลิตภัณฑ์เครือข่ายอบแห้งที่มีสีสรรสวยงามเมื่อมองด้วยตาเปล่า



(ก) ก้อนอบแห้ง



(ж) หลังอบแห้ง

ภาพที่ 4.6 ลักษณะของเครือข่ายก้อนและหลังอบแห้ง

ตารางที่ 4.1 ผลการอบแห้งเครื่อง

รายการ	อุณหภูมิอบแห้ง		
	45 °C	50 °C	55 °C
น้ำหนักตัวอย่าง (kg)	10	10	10
ความชื้นเริ่มต้น (%wb)	88.70	89.10	89.00
ความชื้นสุดท้าย (%wb)	9.52	8.16	7.81
เวลาในการอบแห้ง (h)	8	6	5
ปริมาณน้ำระเหยจากวัสดุ (kg)	8.75	8.86	8.81
ปริมาณไฟฟ้าที่ใช้ทั้งหมด (kWh)	9.39	8.30	8.4
ปริมาณน้ำควบแน่นที่เครื่องทำระเหย (kg)	6.10	4.03	4.42
อัตราการไกลอากาศ (m^3/s)	0.51	0.51	0.51
อัตราการไกลอากาศ bypass (m^3/s)	0.408	0.408	0.408
อัตราส่วนอากาศ bypass (%)	80	80	80
อัตราการอบแห้ง (kg_{water}/h)	1.09	1.48	1.76
MER (kg_{water}/h)	0.76	0.67	0.88
SMER (kg_{water}/kWh)	0.93	1.07	1.05
SEC (MJ/kg _{water})	3.86	3.37	3.43
COP _{hp(used)}	3.12	3.04	2.64

จากการตรวจสอบคุณภาพสีด้วยเครื่องวัดสีด้วยเครื่องสเปกโตก็โตมิเตอร์ ได้ค่าเฉลี่ยสีของเครื่องอบแห้งที่อุณหภูมิอากาศอบแห้ง 45 50 และ 55 °C แสดงอยู่ในตารางที่ 4.2 ซึ่งจะเห็นว่า ค่าความแตกต่างด้านสีมีค่าที่ใกล้เคียงกันทั้งสามอุณหภูมิอากาศอบแห้ง เมื่อทำการตรวจสอบทางสถิติ ด้วยการวิเคราะห์ความแปรปรวนทางเดียว โดยใช้วิธีการทดสอบของ Duncan ที่ระดับความเชื่อมั่น 95% แล้วพบว่าความแตกต่างของสีทั้งสามอุณหภูมิไม่มีความแตกต่างกันทางสถิติ เช่นเดียวกับพารามิเตอร์ L* และ a* จะมีเพียงค่า b* ของอุณหภูมิอากาศอบแห้ง 55 °C ที่แตกต่างจากอีกสองระดับอุณหภูมิ

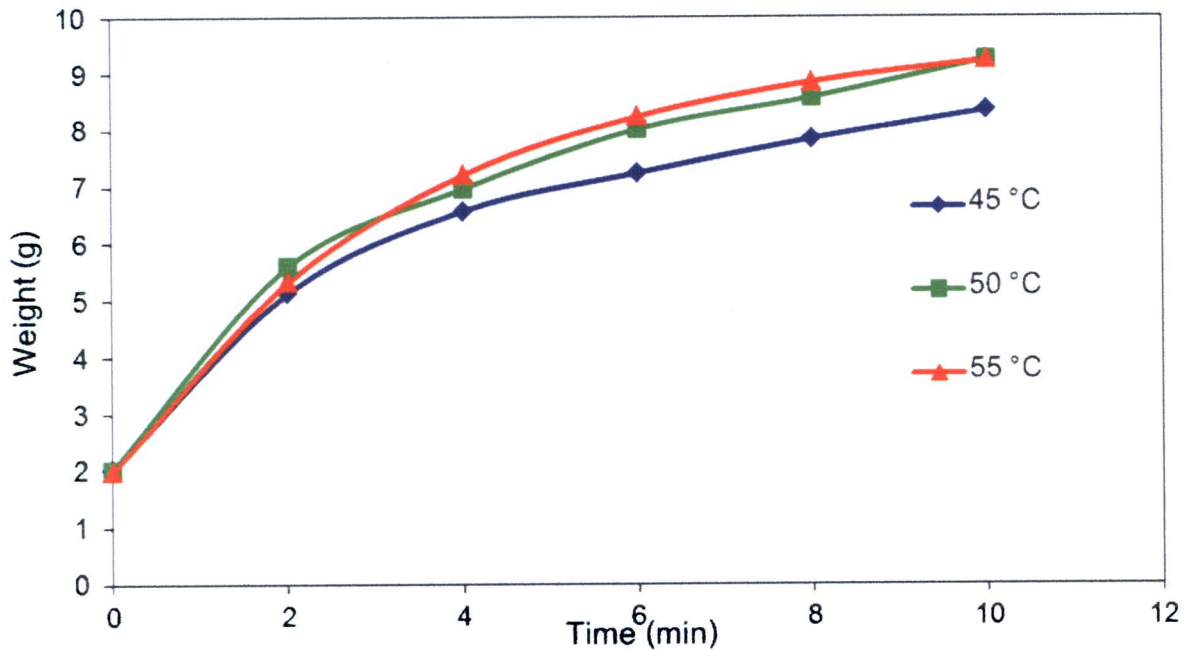
ตารางที่ 4.2 ค่าพารามิเตอร์สีของแครอฟท์

Methods	Parameter			
	L*	a*	b*	ΔE
Fresh	40.70 ^a	33.70 ^a	21.60 ^c	-
45 °C	41.79 ^a	23.49 ^b	15.20 ^b	12.08 ^a
50 °C	41.93 ^a	23.11 ^b	15.28 ^b	12.38 ^a
55 °C	42.66 ^a	23.87 ^b	14.48 ^a	12.28 ^a

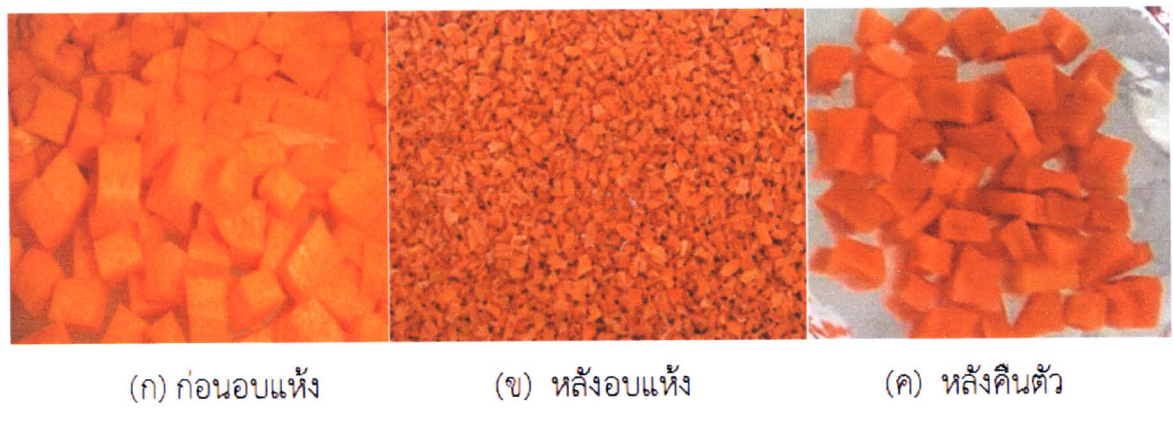
a, b, c อักษรที่เหมือนกันในคอลัมม์เดียวกันหมายถึงไม่มีความแตกต่างกันที่ระดับความเชื่อมั่น 95%

เมื่อนำตัวอย่างแครอฟท์อบแห้งมาทำการหาค่าอัตราส่วนการคืนตัว พฤติกรรมการคืนตัวของแครอฟท์อบแห้งแสดงในภาพที่ 4.7 ซึ่งจะพบว่าในช่วงเริ่มต้นอัตราการคืนตัวมีค่าสูงแล้วค่อยๆ ลดลง ซึ่งมีแนวโน้มคงที่เมื่อเวลาผ่านไปมากขึ้น และท่ออุณหภูมิสูงกว่าจะมีอัตราส่วนการคืนตัวที่สูงกว่า สำหรับค่าอัตราส่วนการคืนตัวเฉลี่ยของแครอฟท์อบแห้งที่อุณหภูมิอบแห้งที่อุณหภูมิอากาศอบแห้ง 45 50 และ 55 °C ค่าอัตราส่วนการคืนตัวมีค่า 4.14 4.58 และ 4.61 ตามลำดับ ซึ่งเมื่อทำการตรวจสอบทางสถิติ ด้วยการวิเคราะห์ความแปรปรวนทางเดียว โดยใช้วิธีการทดสอบของ Duncan ที่ระดับความเชื่อมั่น 95% แล้วพบว่าอัตราส่วนการคืนตัวที่อุณหภูมิอากาศอบแห้ง 50 และ 55 °C ไม่มีความแตกต่างกันในทางสถิติ และเมื่อสังเกตด้วยตาจะเห็นว่าแครอฟท์ได้จากการคืนตัวมีลักษณะใกล้เคียงกับแครอฟท์อบแห้งดังแสดงในภาพที่ 4.8

ดังนั้นการอบแห้งแครอฟท์ด้วยเครื่องอบแห้งระบบบีมความร้อนจะช่วยรักษาคุณภาพด้านสีของแครอฟท์ไว้ได้ และมีอัตราส่วนการคืนตัวที่เร็วสามารถนำไปใช้เป็นส่วนประกอบในการปรุงอาหารกึ่งสำเร็จรูปได้



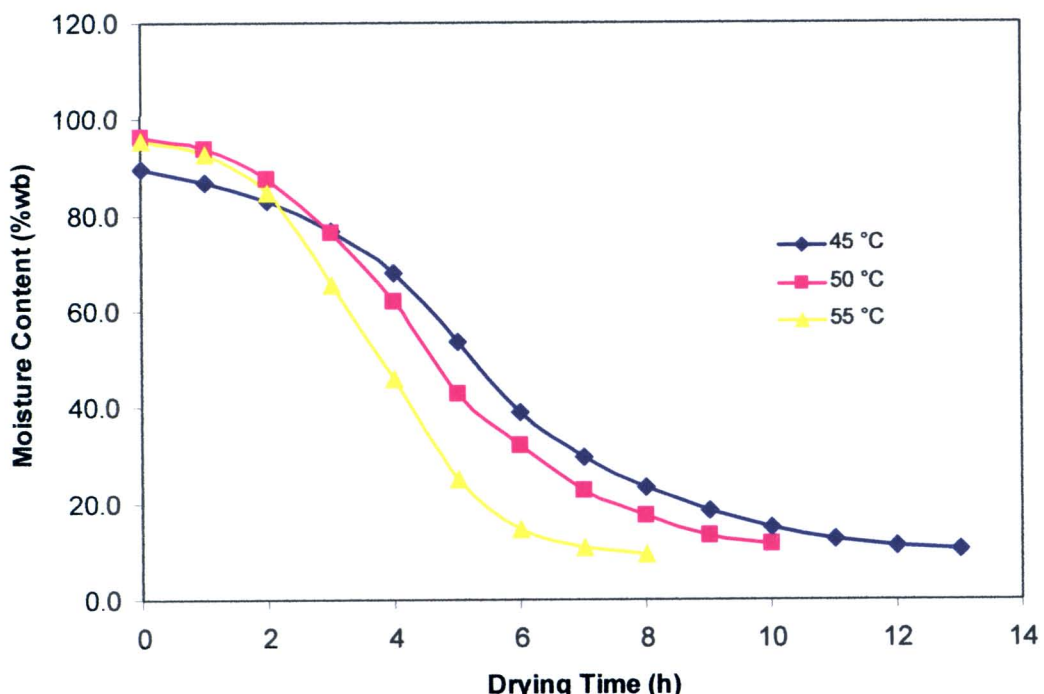
ภาพที่ 4.7 พฤติกรรมการคืนตัวของแครอทอบแห้งที่ได้จากอุณหภูมิการอบแห้งต่างๆ



ภาพที่ 4.8 เปรียบเทียบลักษณะของแครอท

4.2.2 ผลการอบแห้งห้องสับ

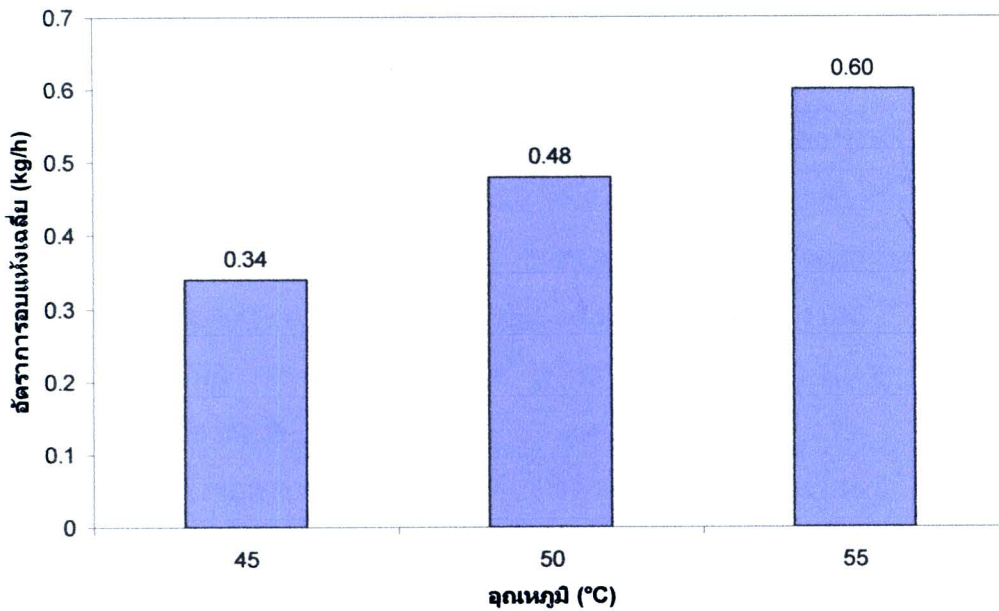
สำหรับผลการอบแห้งห้องสับด้วยเครื่องอบแห้งระบบบีมความร้อนด้วยอุณหภูมิของอากาศ อบแห้ง $45\text{--}50$ และ $55\text{ }^{\circ}\text{C}$ มีพฤติกรรมการอบแห้งคงแสดงในภาพที่ 4.9 จะพบว่าพฤติกรรมการอบแห้งห้องสับอยู่ในช่วงการอบแห้งลดลงเรื่อยๆ เคียงกับการอบแห้งแคร Roth แต่เป็นที่น่าสังเกตว่าห้องสับใช้เวลาในการอบแห้งนานกว่าแคร Roth ซึ่งอาจจะขัดกับความรู้สึกที่ว่าห้องสับมีลักษณะเป็นหลอดกลวงน้ำจะใช้เวลาในการอบแห้งที่สั้นกว่า ทั้งนี้สาเหตุที่การอบแห้งห้องสับใช้เวลานานในการลดลงนี้อาจเป็นผลเนื่องจากการเตรียมตัวของห้องสับสำหรับการอบแห้งทางผู้วิจัยไม่ได้ทำการอบเฉพาะใบของห้องและแต่ได้ทำการอบส่วนที่เป็นหัวห้องด้วย และส่วนของหัวห้องนี้มีลักษณะเป็นชั้นซ้อนกันแบบหนาทำให้ความชื้นจึงลดลงช้ากว่าส่วนที่เป็นใบ



ภาพที่ 4.9 ความสัมพันธ์ระหว่างความชื้นกับเวลาของการอบแห้งห้องสับด้วยเครื่องอบแห้งระบบบีมความร้อน

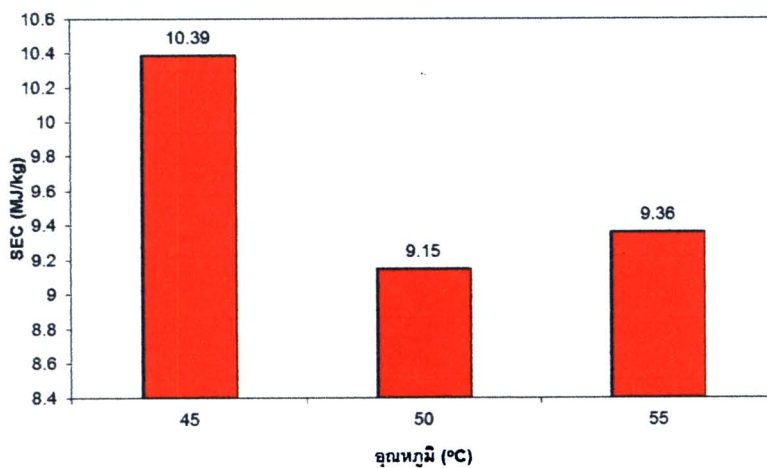
เมื่อพิจารณาอิทธิพลของอุณหภูมิอบแห้งก็ยังพบว่าการอบแห้งที่อุณหภูมิสูงกว่าคือ $55\text{ }^{\circ}\text{C}$ ที่สามารถทำการลดความชื้นได้เร็วกว่าที่อุณหภูมิต่ำถึงแม้ว่าจะมีความชื้นเริ่มต้นสูงกว่าก็ตาม

เมื่อทำการคำนวณค่าอัตราการอบแห้งในรูปของความสามารถในการระเหยน้ำออกจากห้องสับเฉลี่ยต่อเวลาที่ใช้ในการอบแห้งพบว่าอัตราการอบแห้งเป็นไปตามพฤติกรรมการอบแห้งนั้นคือที่อุณหภูมิสูงกว่ามีอัตราการอบแห้งสูงกว่าดังแสดงในภาพที่ 4.10



ภาพที่ 4.10 อัตราการร่อนแห้งหนอนสับด้วยเครื่องอบแห้งระบบปั๊มความร้อน

เมื่อพิจารณาค่าไฟลังงานพบว่ามีทิศทางเดียวกับการร่อนแห้งเครื่องอบแห้งนั่นคือที่อุณหภูมิอบแห้ง 50°C มีค่าความสینเปลี่ยนแปลงไฟลังงานจำเพาะต่ำกว่าที่อุณหภูมิ 55°C ทั้งๆ ที่มีอัตราการร่อนแห้งที่ต่ำกว่า และเป็นที่น่าสังเกตว่าเมื่อโหลดภายในห้องอบแห้งต่ำลง (อบแห้งหนอนสับใช้ 5 กิโลกรัมขณะที่เครื่องอบใช้ตัวอย่าง 10 กิโลกรัม) ค่าความสินเปลี่ยนไฟลังงานต่อชั่วโมงก็ลดลงด้วยซึ่งจากการทดลองพบว่าอุณหภูมิ 45°C , 50°C และ 55°C คือ 0.98 , 1.22 และ $1.55 \text{ kWh}/\text{h}$ เมื่อคิดเป็นค่าความสินเปลี่ยนไฟลังงานไฟลังงานจำเพาะเฉลี่ยตลอดช่วงของการร่อนแห้งจะได้ดังแสดงในภาพที่ 4.11 ซึ่งผลจากการทดลองอบแห้งหนอนสับนี้ก็เป็นสิ่งยืนยันว่าอุณหภูมิอบแห้ง 50°C ตามที่ออกแบบไว้นั้นมีความเหมาะสมต่อการร่อนแห้งทั้งเครื่องและหนอนสับเนื่องจากมีค่าความสินเปลี่ยนไฟลังงานจำเพาะน้อยที่สุด สำหรับพารามิเตอร์อื่นของการร่อนแห้งหนอนสับแสดงในตารางที่ 4.3



ภาพที่ 4.11 ความสินเปลี่ยนไฟลังงานจำเพาะของการร่อนแห้งหนอนสับ

ตารางที่ 4.3 ผลการอบแห้งหอยสับ

รายการ	อุณหภูมิอบแห้ง		
	45 °C	50 °C	55 °C
น้ำหนักตัวอย่าง (kg)	5	5	5
ความชื้นเริ่มต้น (%wb)	89.50	96.20	95.70
ความชื้นสุดท้าย (%wb)	10.50	11.50	9.27
เวลาในการอบแห้ง (h)	13	10	8
ปริมาณน้ำระเหยจากวัสดุ (kg)	4.41	4.79	4.76
ปริมาณไฟฟ้าที่ใช้ทั้งหมด (kWh)	12.74	12.16	12.38
ปริมาณน้ำควบแน่นที่เครื่องทำระเหย (kg)	3.41	3.38	4.42
อัตราการไหอากาศ (m^3/s)	0.51	0.51	0.51
อัตราการไหอากาศ bypass (m^3/s)	0.408	0.408	0.408
อัตราส่วนอากาศ bypass (%)	80	80	80
อัตราการอบแห้ง (kg_{water}/h)	0.34	0.48	0.60
MER (kg_{water}/h)	0.26	0.34	0.55
SMER (kg_{water}/kWh)	0.35	0.39	0.38
SEC (MJ/kg _{water})	10.40	9.14	9.36
COP _{hp(used)}	3.32	3.08	2.83

เมื่อพิจารณาคุณภาพของหอยสับที่ได้หลังการอบแห้งด้วยตาเปล่าพบว่าหอยสับที่ได้มีค่าสีเขียวที่ลดลงไปในลักษณะสีเขียวซีดลง เนื่องจากเกิดการสูญเสียน้ำออกไปลักษณะของหอยสับก่อนและหลังการอบแห้งแสดงในภาพที่ 4.12



(ก) หอยสับก่อนอบแห้ง



(ข) หอยสับหลังอบแห้ง

ภาพที่ 4.12 ลักษณะของหอยสับก่อนและหลังการอบแห้งด้วยเครื่องอบแห้งระบบปั๊มความร้อน

จากการตรวจสอบสีของหอยสับด้วยเครื่องวัดสีแบบสเปคโต์ไฟฟ์คอมพิเตอร์ได้ค่าเฉลี่ยของการสีก่อนและหลังการอบแห้งที่อุณหภูมิการอบแห้ง 45 50 และ 55 °C ได้ผลดังแสดงในตารางที่ 4.4 ซึ่งจะเห็นว่าเมื่อพารามิเตอร์สี จะพบว่าที่อุณหภูมิการอบแห้ง 55 °C มีค่าความสว่างของสี (L^*) ใกล้เคียงกับค่าความสว่างของหอยสุดที่ยังไม่ได้ทำการอบแห้งมากที่สุดเนื่องจากความแตกต่างของสีไม่มีนัยสำคัญที่ระดับความเชื่อมั่นร้อยละ 95 ส่วนที่ระดับอุณหภูมิ 45 และ 50 °C มีแนวโน้มความแตกต่างไปในทางที่ลดลงนั่นคือ หอยสับที่ได้จากการอบแห้งจะมีสีคล้ำลงจากผลิตภัณฑ์สดนั่นเอง

ตารางที่ 4.4 ค่าพารามิเตอร์สีของหอยสับ

Methods	Parameters			
	L^*	a^*	b^*	ΔE
Fresh	43.18 ^a	-5.98667 ^a	15.79667 ^a	-
45 °C	38.10 ^b	-2.63667 ^c	13.21667 ^{ab}	6.88 ^a
50 °C	37.07 ^b	-3.85333 ^b	12.19333 ^c	7.34 ^a
55 °C	40.11 ^{ab}	-3.45222 ^b	12.34333 ^{bc}	5.58 ^a

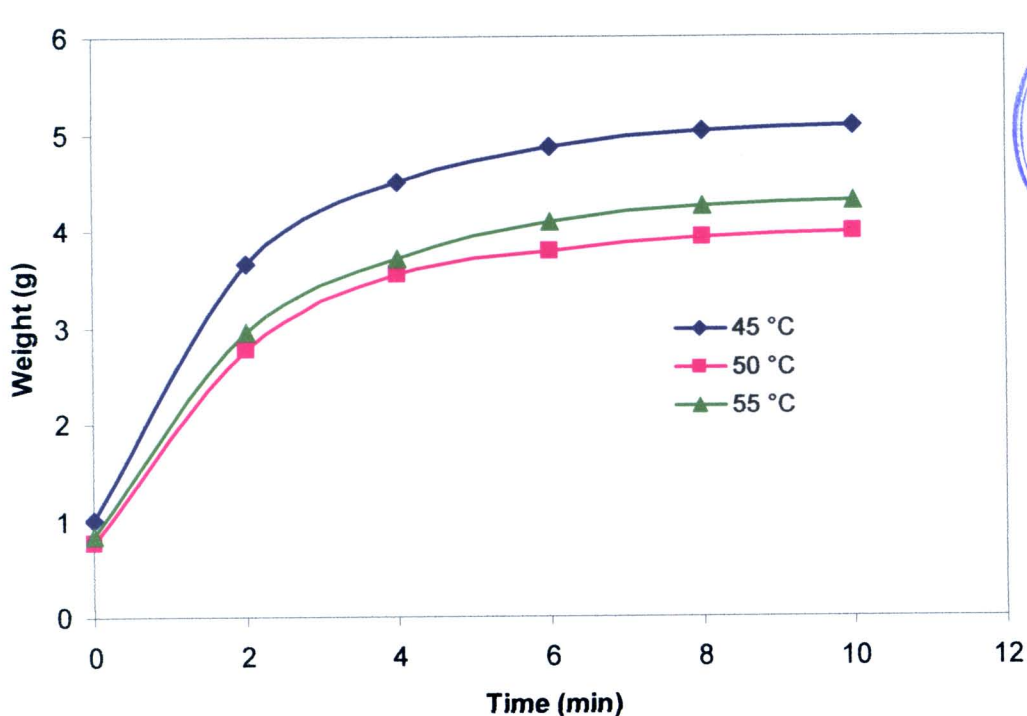
a, b, c อักษรที่เหมือนกันในคอลัมน์เดียวกันหมายถึงไม่มีความแตกต่างกันที่ระดับความเชื่อมั่น 95%

เมื่อพารามิเตอร์ a^* ซึ่งเป็นพารามิเตอร์ที่บ่งบอกถึงการเปลี่ยนแปลงสีจากค่า +a ไปเป็น -a สีเขียว ซึ่งจากค่าที่ได้พบว่าค่า a^* มีค่าเปลี่ยนแปลงไปในทางเพิ่มมากขึ้นจากค่าอ้างอิงของหอยสุดแสดงว่าเมื่อทำการอบแห้งแล้วแนวโน้มความเป็นสีเขียวลดลงโดยการอบแห้งที่อุณหภูมิ 45 °C มีแนวโน้มของการเปลี่ยนไปเป็นสีแดงมากที่สุด

เมื่อพารามิเตอร์ b^* ซึ่งเป็นพารามิเตอร์ที่บ่งบอกถึงการเปลี่ยนแปลงสีจากค่า +b เหลืองไปเป็น -b สีน้ำเงิน ซึ่งจากตารางที่ 4.2 จะพบว่าแนวโน้มค่าสีเหลืองจะลดลงที่ทุกสภาพการอบแห้ง

เมื่อทำการหาค่าผลต่างของพารามิเตอร์สีรวมกับพบว่าค่าความแตกต่างของพารามิเตอร์สีเมื่อทำการอบแห้งหอยสับด้วยเครื่องอบแห้งระบบบีบความร้อนที่อุณหภูมิ 45 50 และ 55 °C ไม่มีความแตกต่างกันทางสถิติที่ระดับความเชื่อมั่นร้อยละ 95 นั่นคือในช่วงการอบแห้งด้วยอุณหภูมิ 45-55 °C จะไม่ส่งผลกระทบต่อคุณภาพด้านสีของผลิตภัณฑ์หลังการอบแห้งที่แตกต่างกันดังนั้นการเลือกใช้

อุณหภูมิการอบแห้งที่เหมาะสมสมจึงสามารถพิจารณาได้จากอัตราการอบแห้งและค่าพลังงานจำเพาะที่ให้ความคุ้มค่าในด้านการใช้พลังงานมากที่สุดได้



ภาพที่ 4.13 พฤติกรรมการคืนตัวของหอนสับอบแห้งที่ได้จากการอบแห้งอุณหภูมิต่างๆ

เมื่อนำหอนสับมาทำการคืนตัวยัน้ำร้อนอุณหภูมิ 90°C พบรุติกรรมการคืนตัวของหอนสับดังแสดงในภาพที่ 4.13 ซึ่งจากภาพจะเห็นว่าเส้นพฤติกรรมการคืนตัวของหอนสับที่อุณหภูมิการอบแห้ง 45°C มีค่าสูงกว่าที่อุณหภูมิ 50 และ 55°C เนื่องจากพฤติกรรมการคืนน้ำกลับของหอนสับในภาพที่ 4.13 เป็นการพลอยห่อระหว่างน้ำหนักของหอนสับที่เปลี่ยนแปลงไปตามเวลาเนื่องจากในการทดสอบการคืนน้ำกลับของหอนสับไม่ได้ควบคุมน้ำหนักเริ่มต้นของตัวอย่างไว้จึงทำให้กราฟที่ได้ออกมาแสดงให้เห็นว่าอุณหภูมิ 45°C สามารถดูดน้ำกลับได้มากกว่า ซึ่งในความเป็นจริงเมื่อทำการคำนวณค่าอัตราส่วนการคืนตัวของหอนสับด้วยสมการที่ 3.5 จะได้อัตราส่วนการคืนตัวของหอนสับอบแห้งที่อุณหภูมิ 45 , 50 และ 55°C คือ 5.04 , 5.13 และ 5.08 ตามลำดับ ซึ่งการตรวจสอบทางสถิติ ด้วยการวิเคราะห์ความแปรปรวนทางเดียว โดยใช้วิธีการทดสอบของ Duncan ที่ระดับความเชื่อมั่น 95% แล้วพบว่าอัตราส่วนการคืนตัวที่อุณหภูมิอากาศอบแห้งทั้ง 3 ระดับไม่มีความแตกต่างกันในทางสถิติ และเมื่อสังเกตด้วยตาจะเห็นว่าหอนสับที่ได้จากการคืนตัวมีเมื่อได้รับน้ำกลับคืนจะมีลักษณะของสีเขียวที่เข้มกว่าหอนสด ส่วนลักษณะของส่วนหัวยังคงมีลักษณะที่ขาวดังแสดงในภาพที่

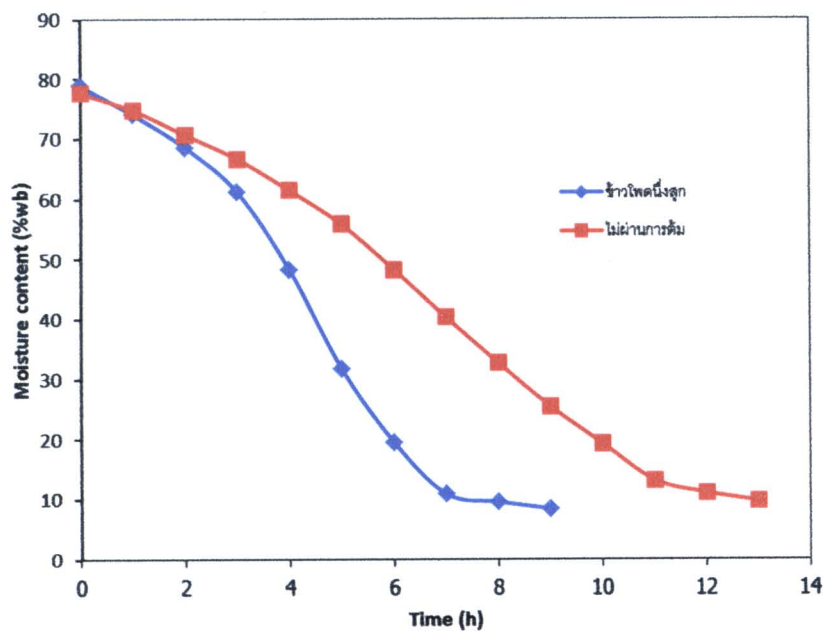


ภาพที่ 4.14 ลักษณะของห้อมสับหลังการอบแห้งและหลังการคีนตัวเทียบกับห้อมสับสด

จากการอบแห้งห้อมสับด้วยเครื่องอบแห้งระบบปั๊มความร้อนจะเห็นได้ว่าลักษณะคุณภาพที่ได้ทั้งในด้านสีและการคีนตัวเป็นที่น่าพอใจ เพียงแต่หากต้องการทำกรอบแห้งให้ได้ประสิทธิภาพมากขึ้นอาจต้องมีการคัดแยกส่วนที่เป็นหัวของห้อมออกให้เหลือเพียงใบห้อมก็จะทำให้การอบแห้งเสร็จสิ้นได้เร็วขึ้น เนื่องจากความแตกต่างของลักษณะวัตถุที่นำมาอบแห้งส่งผลให้สิ้นเปลืองเวลาและพลังงานในการอบแห้งมากเกินไป

4.2.3 ผลการอบแห้งข้าวโพดหวาน

สำหรับการอบแห้งข้าวโพดทางผู้วิจัยได้ทดลองทำการทดสอบโดยอาศัยข้อมูลจากการอบแห้งเครื่องและการอบแห้งห้อมสับที่พบว่าอุณหภูมิการอบแห้ง 50°C ให้สภาวะการอบแห้งที่เหมาะสมทั้งในด้านการใช้พลังงานและคุณภาพของผลิตภัณฑ์ที่ได้ ในการทดลองอบแห้งจึงได้ทำการทดลองโดยพิจารณาความเป็นไปได้ในการอบแห้งข้าวโพดหวานด้วยเครื่องอบแห้งระบบปั๊มความร้อน โดยทำการแบ่งเป็นการทดลองของก้อนเป็น 2 ลักษณะคือการอบแห้งข้าวโพดหวานคินและ การอบแห้งข้าวที่ผ่านการนึ่งสุก ซึ่งผลจากการอบแห้งข้าวโพดหวานทั้งสองชนิดพบว่ามีพฤติกรรมการอบแห้งดังแสดงในภาพที่ 4.15 ซึ่งจะเห็นว่าข้าวโพดที่ผ่านการนึ่งสุกแล้วจะสามารถลดความชื้นจากการอบแห้งดังแสดงในภาพที่ 4.15 ซึ่งจะเห็นว่าข้าวโพดที่ผ่านการนึ่งสุกแล้วจะสามารถลดความชื้นจากความชื้นเริ่มต้น $78.90\% \text{wb}$ ให้เหลือ $8.45\% \text{wb}$ ได้ในเวลา 9 ชั่วโมง ส่วนข้าวโพดคินน้ำลดความชื้นจากความชื้นเริ่มต้น $77.70\% \text{wb}$ ให้เหลือ $9.81\% \text{wb}$ ใช้เวลาในการอบแห้ง 13 ชั่วโมง ซึ่ง เวลาในการอบแห้งแตกต่างกันถึง 4 ชั่วโมงที่เป็นเช่นนี้เนื่องจากการนึ่งข้าวโพดทำให้เซลล์ของข้าวโพดเกิดการเปลี่ยนแปลงและการฝานเอามีเด็กข้าวโพดออกจากฝักมีส่วนพื้นที่ผิวนิ่มที่ทำให้ความชื้นระเหยออกได้ง่าย ส่วนข้าวโพดคินน้ำถึงแม้จะมีรอยปาดออกจากฝักเช่นเดียวกันแต่การไม่ผ่านการนึ่งทำให้ชั้นผิวค้านออกกันน้ำไว้ทำให้การระเหยความชื้นเกิดช้ากว่า ลักษณะของข้าวโพดนึ่งสุกและข้าวโพดคินที่ใช้ในการทดลองมีลักษณะดังแสดงในภาพที่ 4.16 สำหรับผลการประเมินผลการอบแห้งข้าวโพดแสดงในตารางที่ 4.5



ภาพที่ 4.15 พฤติกรรมการอบแห้งข้าวโพดดิบและข้าวโพดข้าวโพdnึ่งสุก



(ก) ข้าวโพดดิบ



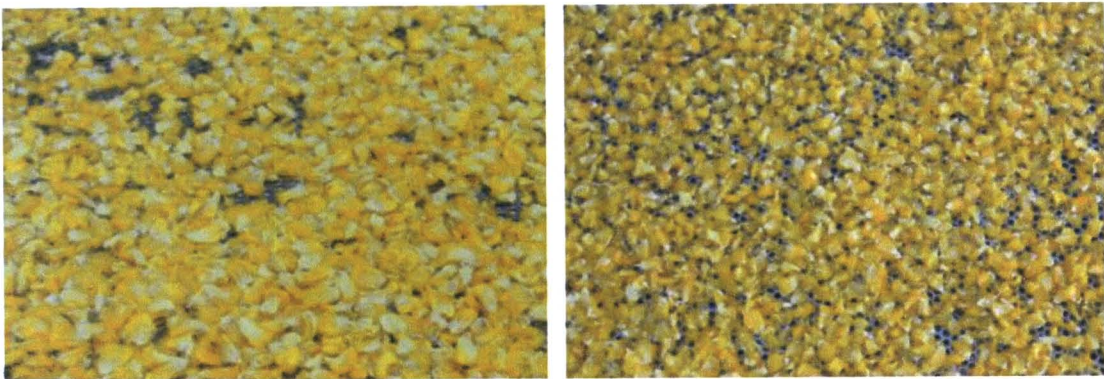
(ข) ข้าวโพdnึ่งสุก

ภาพที่ 4.16 ลักษณะของข้าวโพดดิบและข้าวโพdnึ่งสุกก่อนการอบแห้ง

ตารางที่ 4.5 ผลการอบแห้งข้าวโพดหวาน

รายการ	ชนิดตัวอย่าง	
	ข้าวโพดนึ่งสุก	ข้าวโพดคิบ
น้ำหนักตัวอย่าง (kg)	10	10
ความชื้นเริ่มต้น (%wb)	78.90	77.70
ความชื้นสุดท้าย (%wb)	8.45	9.81
เวลาในการอบแห้ง (h)	9	13
ปริมาณน้ำระเหยจากวัสดุ (kg)	7.70	7.53
ปริมาณไฟฟ้าที่ใช้ทั้งหมด (kWh)	11.98	16.10
ปริมาณน้ำควบแน่นที่เครื่องทำระเหย (kg)	7.30	6.67
อัตราการไหอากาศ (m^3/s)	0.51	0.51
อัตราการไหอากาศ bypass (m^3/s)	0.408	0.408
อัตราส่วนอากาศ bypass (%)	80	80
อัตราการอบแห้ง (kg_{water}/h)	0.86	0.58
MER (kg_{water}/h)	0.81	0.51
SMER (kg_{water}/kWh)	0.64	0.47
SEC (MJ/kg _{water})	5.60	7.70
COP _{hp(used)}	3.12	3.07

เมื่อพิจารณาลักษณะของข้าวโพดที่ได้หลังการอบแห้งจะพบเมล็ดของข้าวโพดมีลักษณะที่เกิดการหดตัวอย่างมากทั้งนี้เนื่องจากปริมาณน้ำส่วนใหญ่อยู่ในส่วนที่เป็นเนื้อส่วนเยื่อหุ้มเมล็ดที่เป็นชั้นบางด้านนอกจะมีความชื้นน้อยกว่า เมื่อเนื้อสูญเสียน้ำไปทำให้เกิดการหดตัวของเนื้อเยื่อชั้นนอกและส่วนเนื้อภายในนั้นเมื่อเกิดการสูญเสียน้ำแล้วจะทำให้เกิดที่ว่างขึ้นระหว่างส่วนเนื้อและส่วนเยื่อหุ้มด้านนอก ลักษณะของข้าวโพดหลังการอบแห้งมีลักษณะดังแสดงในภาพที่ 4.17 ซึ่งลักษณะของข้าวโพดคิบจะมีลักษณะของการหดตัวที่น้อยกว่า



(ก) ข้าวโพดคิบ

(ข) ข้าวโพดนึ่งสุก

ภาพที่ 4.17 ลักษณะของข้าวโพดหลังการอบแห้ง

ผลการวัดสีของข้าวโพดคิบ ข้าวโพดนึ่งสุก ข้าวโพดคิบผ่านการอบแห้ง และข้าวโพดนึ่งสุก ผ่านการอบแห้งพบว่าข้าวโพดที่ผ่านการนึ่งจะมีสีเหลืองที่เข้มขึ้นโดยคูณได้จากค่า b^* ที่สูงกว่าค่าที่วัดได้จากข้าวโพดคิบปกติ และพบว่าข้าวโพดที่ผ่านการนึ่งเมื่อทำการอบแห้งจะได้ผลิตภัณฑ์หลังการอบแห้งที่ลักษณะคล้ายขึ้นโดยค่า L^* ที่ได้จะมีค่าต่ำกว่าค่าที่วัดได้จากผลิตภัณฑ์อื่น โดยค่าพารามิเตอร์สีของตัวอย่างข้าวโพดในแต่ละสภาวะแสดงในตารางที่ 4.6

ตารางที่ 4.6 ค่าพารามิเตอร์สีของข้าวโพดหวาน

Methods	Parameters			
	L^*	a^*	b^*	ΔE
ข้าวโพดคิบ	74.29 ^c	-2.80 ^b	25.59 ^a	-
ข้าวโพดนึ่งสุก	73.86 ^c	-4.87 ^c	44.08 ^b	18.80 ^a
ข้าวโพดคิบหลังอบแห้ง	64.96 ^b	1.99 ^a	31.26 ^a	14.53 ^a
ข้าวโพดนึ่งสุกหลังอบแห้ง	53.85 ^a	0.94 ^a	46.26 ^b	29.63 ^b

a, b, c อักษรที่เหมือนกันในคอลัมน์เดียวกันหมายถึงไม่มีความแตกต่างกันที่ระดับความเชื่อมั่น 95%

ซึ่งเมื่อพิจารณาคุณภาพโดยรวมของข้าวโพดที่ได้จากการอบแห้งทั้งสองแบบพบว่า การอบแห้งข้าวโพดหวานในลักษณะที่เป็นข้าวโพดคิบจะให้ลักษณะทางคุณภาพเป็นที่น่าพอใจมากกว่า เนื่องจากลักษณะที่ได้ค่อนข้างที่จะคงรูปมากกว่าข้าวโพดที่ผ่านการนึ่งสุกแล้วที่มีลักษณะการหดตัวค่อนข้างมากทำให้มีลักษณะเที่ยบย่น ส่วนคุณภาพด้านสีน้ำเงินยังคงให้ลักษณะสีที่เป็นสีเหลืองไม่แตกต่างจากลักษณะก่อนการอบแห้งมากนัก

4.3 การวิเคราะห์ทางเศรษฐศาสตร์

จากข้อมูลค่าใช้จ่ายในการลงทุนสร้างเครื่องอบแห้งระบบปั๊มความร้อนที่แสดงในตารางที่ 4.7 สามารถวิเคราะห์ค่าใช้จ่ายและผลตอบแทนในเชิงเศรษฐศาสตร์โดยมีรายละเอียดและเงื่อนไขต่อไปนี้

- ต้นทุนการสร้างเครื่องอบแห้งรวม 70,544 บาท
- สามารถแห้งแครอฟได้ครั้งละ 10 กิโลกรัม
- ผลิตแครอฟแห้งได้ครั้งละ 1.11 กิโลกรัม (คิดความชื้นเริ่มต้น 90%wb ลดเหลือ 10% wb)
- ราคาแครอฟสดเฉลี่ย 45 บาทต่อกิโลกรัม
- ราคาแครอฟอบแห้ง 500 บาทต่อกิโลกรัมแห้ง (คิดเป็น 50 เปอร์เซ็นต์ของราคายาในห้องตลาด)

- ใช้เวลาในการอบแห้งครั้งละ 8 ชั่วโมง
- ทำการอบแห้งสักปิดาที่ละ 6 วัน ดังนั้นทำงานปีละ 312 วัน
- สมมติให้มีการอบแห้งผลผลิตอื่นรวมด้วยตลอดปี ที่เงื่อนไขการทำงานเดียวกัน
- อัตราการใช้ไฟฟ้านเฉลี่ยต่อชั่วโมงเท่ากับ 1.70 kWh
- อัตราดอกเบี้ยเงินกู้ 7.75%
- ตัวเครื่องมีอายุการใช้งาน 10 ปี
- น้ำค่าซากคิดเป็น 10% ของต้นทุน
- ค่าบำรุงรักษารายปีคิดเป็น 5% ของต้นทุน
- ค่าไฟฟ้าราคา 2.5 บาท/kWh
- ค่าจ้างแรงงาน 1 คน ราคา 300 บาท/วัน

ค่าใช้จ่ายเปรียบเทียบรายปีของต้นทุนสร้างเครื่อง

$$\begin{aligned}
 &= 70,544(A/P, 7.75\%, 10) - 70,544(0.1)(A/F, 7.75\%, 10) \\
 &= 70,544 \left(\frac{0.0775(0.0775+1)^{10}}{(0.0775+1)^{10} - 1} \right) - 70,544(0.1) \left(\frac{0.0775}{(0.0775+1)^{10} - 1} \right) \\
 &= 9,902.12 \text{ บาท}
 \end{aligned}$$

ค่าใช้จ่ายด้านพลังงานไฟฟ้ารายปี

$$\begin{aligned}
 &= \text{ชั่วโมงการทำงานรวม} \times \text{อัตราการใช้ไฟฟ้า} \times \text{ราคาไฟฟ้าต่อน่วย} \\
 &= 312 \times 8 \times 1.70 \times 2.5
 \end{aligned}$$

$$= 10,608 \text{ บาท}$$



ค่าใช้จ่ายบำรุงรักษารายปี

$$= 70,554 \times 0.05$$

$$= 3,527.20 \text{ บาท}$$

ค่าจ้างแรงงานรายปี

$$= 300 \times 312$$

$$= 93,600 \text{ บาท}$$

ค่าใช้จ่ายรวมรายปี

$$= 9,902.12 + 10,608 + 3527.20 + 93,600$$

$$= 117,637.32 \text{ บาท}$$

ค่าใช้จ่ายต่อปริมาณผลผลิตคิดแยกประเภทตามต้นทุน

$$\text{ต้นทุนค่าเครื่อง} = 9,902.12 / (312 \times 1.11)$$

$$= 28.59 \text{ บาทต่อ กิโลกรัมผลผลิตแห้ง}$$

$$\text{ค่าไฟฟ้า} = 10,608 / (312 \times 1.11)$$

$$= 30.63 \text{ บาทต่อ กิโลกรัมผลผลิตแห้ง}$$

$$\text{บำรุงรักษา} = 3527.20 / (312 \times 1.11)$$

$$= 10.18 \text{ บาทต่อ กิโลกรัมผลผลิตแห้ง}$$

$$\text{ค่าจ้างแรงงาน} = 93,600 / (312 \times 1.11)$$

$$= 270.27 \text{ บาทต่อ กิโลกรัมผลผลิตแห้ง}$$

$$\text{ค่าใช้จ่ายรวม} = 117,637.32 / (312 \times 1.11)$$

$$= 339.68 \text{ บาทต่อ กิโลกรัมผลผลิตแห้ง}$$

ผลตอบแทนรายปี

$$= \text{ปริมาณวัสดุ} \times \text{ราคาขาย}$$

$$= 346.32 \times 500$$

$$= 173,160 \text{ บาท}$$

กำไรสุทธิรายปี

$$= \text{ผลตอบแทน} - \text{ต้นทุนการผลิต}$$

$$= 173,160 - 117,637.32$$

$$= 55,522.68 \text{ บาท}$$

ระยะเวลาคืนทุน (Payback period)

= ต้นทุนสร้างเครื่อง/กำไรสุทธิรายปี

$$= 70,544 / 55,522.68$$

$$= 1.27 \text{ ปี}$$

ตารางที่ 4.7 ค่าใช้จ่ายในการสร้างเครื่องอบแห้งระบบบีบความร้อน

ลำดับที่	รายการ	จำนวน	ราคารอบหน่วย	จำนวนเงิน (บาท)
1	เหล็กแผ่นเคลือบสังกะสีเนอร์ 28 ขนาด $1.2 \times 2.4 \text{ m}^2$	12 แผ่น	390	4680
2	เหล็กกล่องนิ่วหนา 2 mm	10 เส้น	285	2850
3	ฉนวน	4 ม้วน	320	1280
4	ชุดพัดลมหลักและมอเตอร์	1 ชุด	4050	4050
5	ชุดพัดลมเครื่องควบแน่นตัวนอกและมอเตอร์	1 ชุด	1300	1300
6	โซลีนอยด์วาล์ว	2 ชุด	1250	2500
7	วาล์วกันกลับ	2 ชุด	550	1100
8	ถุงอลูมิเนียม	10 ถุง	780	7800
9	เครื่องตัดไอลูบลูกสูบขนาด $1\frac{1}{4} \text{ hp}$	1 ชุด	4250	4250
10	Capacitor start	1 ตัว	756	756
11	ชุดแมงคอยด์เบ็นและร้อน	1 ชุด	6000	6000
12	ชุดกลอนประตูแบบมือจับพร้อมบานพับ	1 ชุด	310	310
13	โครวงหั้นดาด	1 ชิ้น	1600	1600
14	ชุดควบคุมอุณหภูมิแบบดิจิตอล	1 ตัว	3500	3500
15	ชุดอุปกรณ์ตู้ควบคุม	1 ชุด	4210	4210
16	ล้อยางใหญ่	4 ล้อ	175	700
17	มิเตอร์ และสายไฟหลัก	1 ชุด	658	658
18	วัสดุสีนเปลีอง (HEMA) จ่าย			5000
19	ค่าจ้างประกอบเครื่อง			15,000
20	ค่าจ้างติดตั้งระบบบีบความร้อน			3,000
รวมค่าใช้จ่าย				70,544